

文章编号: 1000-324X(2018)09-0976-05

DOI: 10.15541/jim20170528

基于 Al_2O_3 介质的 Ga_2O_3 MOSFET 器件制备研究

吕元杰, 宋旭波, 何泽召, 谭 鑫, 周幸叶, 王元刚, 顾国栋, 冯志红

(河北半导体研究所, 专用集成电路国家级重点实验室, 石家庄 050051)

摘要: 采用金属有机化学气相沉积(MOCVD)方法在 Fe 掺杂半绝缘(010) Ga_2O_3 同质衬底上外延得到 n 型 $\beta\text{-}\text{Ga}_2\text{O}_3$ 薄膜材料, 材料结构包括 600 nm 未掺杂的 Ga_2O_3 缓冲层和 200 nm Si 掺杂沟道层。对掺杂浓度为 3.0×10^{17} 和 $1.0 \times 10^{18} \text{ cm}^{-3}$ 的样品进行了高温合金欧姆接触实验, 在掺杂浓度为 $3.0 \times 10^{17} \text{ cm}^{-3}$ 的样品上难以实现良好的欧姆接触, 掺杂浓度为 $1.0 \times 10^{18} \text{ cm}^{-3}$ 的样品实现了欧姆接触最低值($9.8 \Omega\cdot\text{mm}$)。基于掺杂浓度为 $1.0 \times 10^{18} \text{ cm}^{-3}$ 的 n 型 $\beta\text{-}\text{Ga}_2\text{O}_3$ 薄膜材料, 采用原子层沉积的 Al_2O_3 作为栅下绝缘介质层, 研制出 Ga_2O_3 金属氧化物半导体场效应晶体管(MOSFET)。栅压为 2 V 时, 器件漏源饱和电流达到 108 mA/mm, 器件峰值跨导达到 17 mS/mm。由于栅漏电特性较差, 器件的三端击穿电压仅为 $23 \text{ V}@V_{\text{gs}} = -12 \text{ V}$ 。采用高介电常数的 HfO_2 或者 $\text{Al}_2\text{O}_3/\text{HfO}_2$ 复合结构作为栅下介质能够改善栅漏电特性, 提升器件的击穿性能。

关键词: 氧化镓; 金属氧化物半导体场效应晶体管; 漏源饱和电流; 栅漏电

中图分类号: TQ174 文献标识码: A

Ga_2O_3 MOSFET Device with Al_2O_3 Gate Dielectric

LV Yuan-Jie, SONG Xu-Bo, HE Ze-Zhao, TAN Xin, ZHOU Xing-Ye,
WANG Yuan-Gang, GU Guo-Dong, FENG Zhi-Hong

(National Key Laboratory of ASIC, Hebei Semiconductor Research Institute, Shijiazhuang 050051, China)

Abstract: n-typed $\beta\text{-}\text{Ga}_2\text{O}_3$ was homoepitaxially grown by metal organic chemical vapor deposition (MOCVD) on a Fe-doped semi-insulating (010) Ga_2O_3 substrate. The structure consisted of a 600 nm undoped (UID) Ga_2O_3 buffer layer and 200 nm Si-doped channel layer. High-temperature Ohmic alloy experiments were taken on two kinds of n-typed $\beta\text{-}\text{Ga}_2\text{O}_3$ with Si donor concentrations of 3.0×10^{17} and $1.0 \times 10^{18} \text{ cm}^{-3}$. It's hard to realize good Ohmic contact on the $\beta\text{-}\text{Ga}_2\text{O}_3$ epitaxial layer with donor concentrations of $3.0 \times 10^{17} \text{ cm}^{-3}$. The lowest Ohmic value of $9.8 \Omega\cdot\text{mm}$ was obtained on the substrate with donor concentrations of $1.0 \times 10^{18} \text{ cm}^{-3}$. Metal-oxide-semiconductor field-effect transistor (MOSFET) was fabricated based on homoepitaxial $\beta\text{-}\text{Ga}_2\text{O}_3$ film with donor concentrations of $1.0 \times 10^{18} \text{ cm}^{-3}$, in which Al_2O_3 grown by atomic layer deposition (ALD) was used as gate dielectric. The drain saturation current of the fabricated device reached 108 mA/mm at V_{gs} of 2 V, and a high peak transconductance of 17 mS/mm was obtained. Due to poor gate leakage, the three-terminal off-state breakdown voltage was just 23 V at $V_{\text{gs}} = -12 \text{ V}$. The breakdown characteristics can be improved by introducing HfO_2 with high dielectric constant or $\text{Al}_2\text{O}_3/\text{HfO}_2$ composite structure.

Key words: Ga_2O_3 ; MOSFET; drain saturation current; gate leakage

收稿日期: 2017-11-09; 收到修改稿日期: 2018-01-04

基金项目: 国家自然科学基金(61674130, 61604137) National Natural Science Foundation of China (61674130, 61604137)

作者简介: 吕元杰(1985-), 男, 博士, 副研究员. E-mail: yuanjielv@163.com

通讯作者: 冯志红, 研究员. E-mail: ga917vv@163.com

氧化镓(Ga_2O_3)材料是一种超宽禁带半导体, 比氮化镓(GaN)和碳化硅(SiC)具有更为优越的物理特性, 成为近年来新型功率半导体材料与器件领域的研究热点^[1-3]。氧化镓是一种III-VI族直接带隙宽禁带半导体材料, 室温下禁带宽度可达到4.8 eV, 有5种不同的多形体结构, 其中 β 相(单斜)结构最为稳定, 其余四种为亚稳定结构。一般 Ga_2O_3 薄膜由于存在氧空位而呈现n型导电, 可以通过掺杂硅(Si)和锡(Sn)等杂质实现精确的n型掺杂, 但p型 Ga_2O_3 的制备仍然是一个世界性难题。 Ga_2O_3 材料的击穿电场强度可达8 MV/cm, 是SiC和GaN材料理论击穿场强的3倍左右, 非常适用于高击穿电压器件领域。巴利加(Baliga)优值是用来全面评价半导体材料在功率器件中的应用价值指数, 除与击穿电场强度有关, 还会受到电子迁移率和介电常数的影响。 $\beta\text{-Ga}_2\text{O}_3$ 的巴利加优值是GaN的4倍、SiC的10倍以上。因此, 在达到相同耐压的条件下, 采用 $\beta\text{-Ga}_2\text{O}_3$ 的单极器件在理论上的导通电阻仅为SiC的1/10、GaN的1/3, 这有利于减少电源电路的导通电力损耗, 最大程度上提高器件的功率密度。 $\beta\text{-Ga}_2\text{O}_3$ 在制备大功率密度的功率电子器件方面具有得天独厚的优势。此外, Ga_2O_3 单晶同质衬底为高质量低缺陷 $\beta\text{-Ga}_2\text{O}_3$ 外延奠定了基础, 而且 Ga_2O_3 单晶衬底可采用制备蓝宝石(Al_2O_3)衬底同样的工艺, 适合低成本的大批量生产, Ga_2O_3 功率器件在制备成本方面有明显优势^[4-6]。

目前国外已有很多关于 $\beta\text{-Ga}_2\text{O}_3$ 器件的报道, 如金属氧化物半导体场效应晶体管(MOSFETs), 金属半导体场效应晶体管(MESFETs)以及肖特基二极管等^[7-8], 并取得了不错的研究成果。Wong等^[9]利用分子束外延设备(MBE)在Fe掺杂(010)取向的 Ga_2O_3 单晶同质衬底上外延得到Si掺杂的n型 $\beta\text{-Ga}_2\text{O}_3$ 外延薄膜, 并采用原子层沉积的 Al_2O_3 作为栅下介质, 同时结合栅场板结构研制出 $\beta\text{-Ga}_2\text{O}_3$ MOSFET, 器件漏源电流开关比达到 10^9 , 击穿电压超过750 V, 该值为目前 Ga_2O_3 MOSFET器件报道最高值。Green等^[1]采用金属有机气相外延(MOPVE)方法在(010)取向的 Ga_2O_3 单晶同质衬底上外延得到Sn掺杂的n型 $\beta\text{-Ga}_2\text{O}_3$ 外延薄膜, 同样采用原子层沉积的 Al_2O_3 作为栅下介质, 研制出栅长为2 μm、栅源间距为0.8 μm、栅漏间距为0.6 μm的 $\beta\text{-Ga}_2\text{O}_3$ MOSFET, 器件的击穿场强超过3.8 MV/cm, 该值已经超过了GaN(3 MV/cm)和SiC(3.18 MV/cm)的理论击穿场强。Zhou等^[10]采用撕拉法从(100)取向的n型 Ga_2O_3 衬底上转移获得纳米带状的 $\beta\text{-Ga}_2\text{O}_3$ 材料, 研制出背栅结构的 $\beta\text{-Ga}_2\text{O}_3$ MOSFET, 饱和电流达到1.5 A/mm,

为目前饱和电流报道最高值, 而且该器件可以通过改变撕拉薄膜的厚度实现阈值电压的调控, 阈值电压能够达到100 V^[11], 但该方法获得的 Ga_2O_3 材料由于薄膜厚度等方面限制, 难以实际应用。

国外在 $\beta\text{-Ga}_2\text{O}_3$ 材料外延, 尤其是MOSFET器件方面已经取得了可喜的研究成果, 但是国内关于 Ga_2O_3 的报道仅限于单晶衬底、材料外延、探测器以及少量的肖特基二极管等方面^[12-14], 在 $\beta\text{-Ga}_2\text{O}_3$ MOSFET器件制备方面还未有报道。本工作基于n型 $\beta\text{-Ga}_2\text{O}_3$ 外延薄膜材料, 成功研制了 $\beta\text{-Ga}_2\text{O}_3$ MOSFET器件。

1 材料外延与器件工艺

1.1 n型 $\beta\text{-Ga}_2\text{O}_3$ 薄膜外延

图1为 Ga_2O_3 MOSFET器件横截面结构示意图。采用金属有机化学气相沉积(MOCVD)设备在Fe掺杂半绝缘(010) Ga_2O_3 衬底上外延得到 $\beta\text{-Ga}_2\text{O}_3$ 外延薄膜。外延材料从衬底往上依次为600 nm非故意掺杂的 Ga_2O_3 缓冲层和200 nm Si掺杂的沟道层。这里制备了两种不同Si掺杂浓度的样品, 掺杂浓度分别为 3.0×10^{17} 和 $1.0 \times 10^{18} \text{ cm}^{-3}$ 。室温霍尔测试表明, 这两种材料的载流子迁移率分别为42和20 $\text{cm}^2/(\text{V}\cdot\text{s})$ 。

1.2 欧姆接触实验

在两种掺杂浓度的样品上分别开展了欧姆接触实验。欧姆接触电极采用Ti/Au(20/180 nm)两层金属, 随后利用快速退火设备在氮气氛围中退火1 min, 退火温度分别为400 °C、450 °C、500 °C、550 °C和600 °C。利用线性传输模型测量得到不同退火条件下

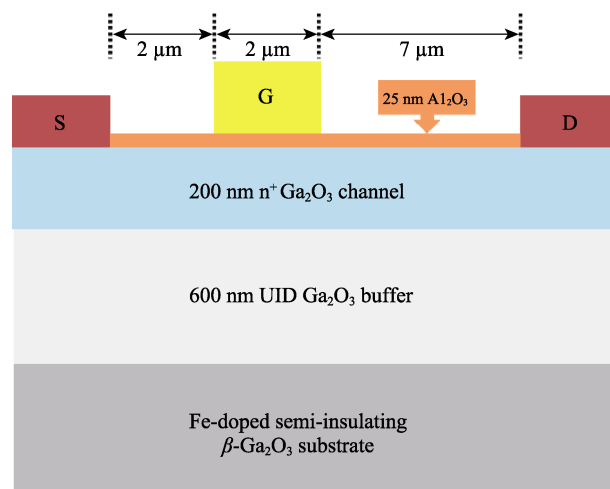


图1 Ga_2O_3 MOSFET器件横截面结构示意图

Fig. 1 Schematic cross section of the fabricated Ga_2O_3 MOSFET

器件的欧姆接触值(R_C)，测试结果列于图2。由于 Ga_2O_3 材料超宽禁带的特性，n型掺杂浓度较低时，难以实现良好的欧姆接触。从图2可以看到，n型掺杂浓度为 $3.0 \times 10^{17} \text{ cm}^{-3}$ 时，在400~600℃的退火范围内，欧姆接触电阻均大于 $35 \Omega \cdot \text{mm}$ ，欧姆接触很差；当掺杂浓度提高到 $1.0 \times 10^{18} \text{ cm}^{-3}$ 后，可以实现相对较好的欧姆接触，450℃以下退火可以实现最低欧姆接触电阻为 $9.8 \Omega \cdot \text{mm}$ 。采用离子注入工艺，在欧姆接触区域形成重掺杂，可以进一步降低欧姆接触特性，降低器件导通电阻。

1.3 器件制备工艺

基于欧姆接触实验结果，本工作在Si掺杂浓度为 $1.0 \times 10^{18} \text{ cm}^{-3}$ 的 $\beta\text{-Ga}_2\text{O}_3$ 外延薄膜上制备MOSFET器件。器件制备工艺从台面刻蚀开始，采用电感耦合等离子体(ICP)刻蚀设备，并利用 BCl_3 和Ar进行干法刻蚀，氧化镓薄膜刻蚀速率为90 nm/min，台面刻蚀高度为300 nm。源漏欧姆接触采用Ti/Au(20/180 nm)两层金属，随后在氮气氛围中450℃下退火1 min。采用原子层沉积(ALD)设备在器件表面生长厚度为25 nm的 Al_2O_3 介质，外延生长温度为250℃，采用水(H_2O)作为氧源。最后利用蒸发剥离工艺制备栅长为2 μm的栅电极，其采用Ni/Au两层金属。图3为 Ga_2O_3 MOSFET器件显微镜照片，栅源间距(L_{gs})为2 μm，栅漏间距(L_{gd})为7 μm。

2 器件特性分析

图4为 Ga_2O_3 MOSFET的直流输出特性曲线，该曲线是利用半导体参数分析仪测量得到的。在输出特性曲线测试过程中，漏端偏压(V_{ds})从0 V施加到20 V，步长为0.1 V；栅端偏压(V_{gs})从2 V施加至-12 V，步长为-2 V。从图4可以看到，器件展示出良好的夹断特性。在栅偏压为2 V下，漏源饱和电流

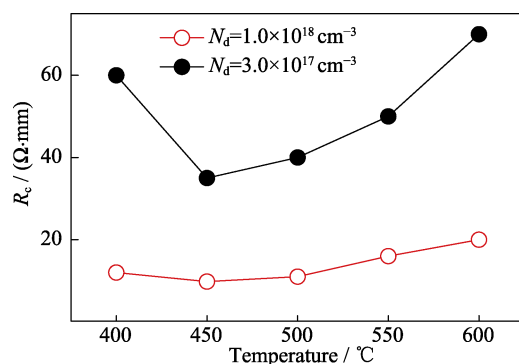


图2 不同Si掺杂浓度下欧姆接触电阻随退火温度的变化
Fig. 2 Change of Ohmic contact resistances with annealing temperature at different Si donor concentrations

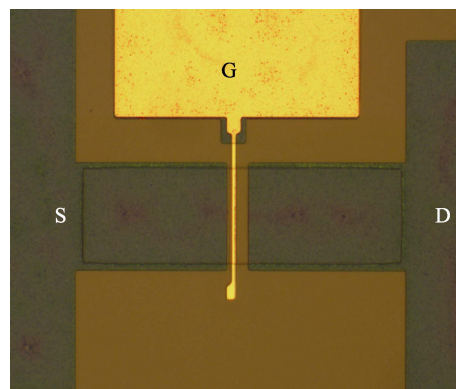


图3 Ga_2O_3 MOSFET器件显微镜照片

Fig. 3 Microscope image of the fabricated Ga_2O_3 MOSFET

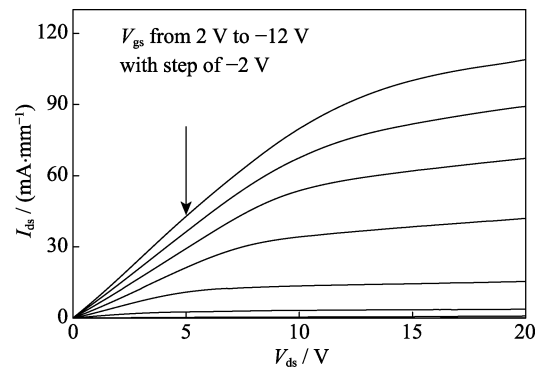


图4 Ga_2O_3 MOSFET器件输出特性曲线

Fig. 4 Output characteristics of the Ga_2O_3 MOSFET

达到108 mA/mm。从输出曲线外推得到开态导通电阻(R_{ON})为 $128.5 \Omega \cdot \text{mm}$ 。表1汇总了已报道的基于外延n型 Ga_2O_3 薄膜的MOSFET相关电学参数，本研究外延的n型 Ga_2O_3 薄膜材料在掺杂浓度为 $1.0 \times 10^{18} \text{ cm}^{-3}$ 时，载流子迁移率仅为 $20 \text{ cm}^2/(\text{V}\cdot\text{s})$ ，远低于国外已报道的结果，还需继续优化外延工艺，降低电离杂质散射，提升载流子迁移率。此外，相比于已报道的 Ga_2O_3 MOSFET器件，本工作研制的器

表1 Ga_2O_3 MOSFET电学参数汇总

Table 1 Summary of electrical parameters for Ga_2O_3 MOSFET

	Doping concentration/ cm^{-3}	Carrier mobility/ $(\text{cm}^2 \cdot \text{V}^{-1} \cdot \text{s}^{-1})$	Drain source saturation current/ $(\text{mA} \cdot \text{mm}^{-1})$	Break-down voltage/V	Ref.
1	3.0×10^{17}	NR	26	370	[4]
2	4.8×10^{17}	19.7	60	200	[1]
3	3.0×10^{17}	70-95	78	755	[9]
4	2.3×10^{17}	24	0.24	612	[11]
5	4.0×10^{17}	111	80	479	[5]
6	1.3×10^{18}	96	150	NR	[15]
	3.0×10^{17}	42			This work
	1.0×10^{18}	20	108	23	This work

件展示出较高的漏源饱和电流密度, 这主要是 n型 Ga_2O_3 薄膜材料的掺杂浓度较高导致的。掺杂浓度越高对器件的漏源饱和电流以及导通电阻越有利, 但会导致击穿特性变差。

图 5 给出了 Ga_2O_3 MOSFET 的转移特性曲线。该测试曲线是利用半导体参数分析仪测量得到的, 测试过程中漏偏压固定为 18 V, 栅偏压从 -14 V 增加到 2 V, 步长为 0.1 V。器件的阈值电压(V_{th})约为 -10 V, 峰值跨导达到 17 mS/mm。

图 6 为夹断状态下器件击穿特性, 测试过程中栅压固定为 -12 V, 同时监测漏源电流(I_{ds})和栅漏电流(I_{g})。从图 6 可以看到, 器件的三端击穿电压为 23 V, 此外还可以看到器件的栅漏电较大, 这是导致器件击穿特性差的主要原因。在器件制备过程中同时制备了金属/ Al_2O_3 /金属的电容结构, 发现该结构的绝缘特性良好, 两端电流为 10^{-11} A 量级, 击穿电压大于 200 V。因此, 本工作生长的 Al_2O_3 介质具有良好的绝缘特性。器件栅漏电较大可能是由于 Al_2O_3 与 Ga_2O_3 的界面态导致的。据文献报道, 采用 H_2O 作为氧源制备的 Al_2O_3 介质容易在异质界面处产生高浓度的固定正电荷和类受主界面态, 从而导致栅漏电较大^[16]。表 1 汇总的 Ga_2O_3 MOSFET 器件

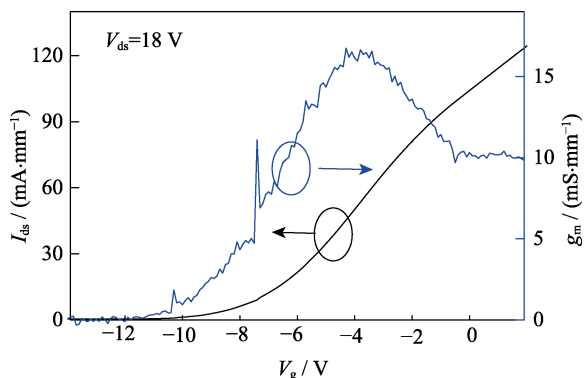


图 5 Ga_2O_3 MOSFE 器件的转移特性曲线

Fig. 5 Transfer characteristics of the Ga_2O_3 MOSFET

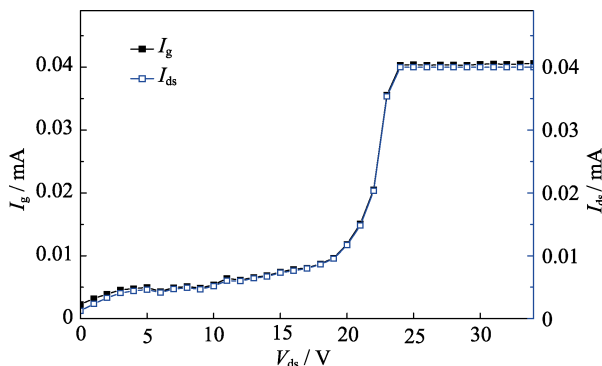


图 6 Ga_2O_3 MOSFE 器件的三端击穿特性曲线

Fig. 6 Three-terminal off-state breakdown characteristics for the Ga_2O_3 MOSFET

都是采用 Al_2O_3 作为栅下介质, 且实现了很高的击穿特性。因此, 优化原子层沉积 Al_2O_3 介质工艺, 降低界面态是下一步的工作重点。同时, 将采用高介电常数的 HfO_2 介质或者 $\text{Al}_2\text{O}_3/\text{HfO}_2$ 复合结构作栅下介质层降低栅漏电, 以提升器件击穿特性。

3 结论

基于同质外延的 n型 $\beta\text{-Ga}_2\text{O}_3$ 薄膜材料研制出了 Ga_2O_3 金属氧化物半导体场效应晶体管(MOSFET)。n型 $\beta\text{-Ga}_2\text{O}_3$ 薄膜材料是在铁掺杂的半绝缘(010) Ga_2O_3 衬底上同质外延实现的, 材料结构包括 600 nm 未掺杂的 Ga_2O_3 缓冲层和 200 nm 硅掺杂的 Ga_2O_3 沟道层, 其中沟道层 n型掺杂浓度为 $1.0 \times 10^{18} \text{ cm}^{-3}$ 。 Ga_2O_3 MOSFET 器件采用 25 nm Al_2O_3 作为栅下绝缘介质层, 研制的器件漏源饱和电流为 108 mA/mm @ $V_{\text{gs}}=2$ V, 峰值跨导达到 17 mS/mm。由于栅漏电特性较差, 导致器件的三段击穿电压仅为 23 V @ $V_{\text{gs}}=-12$ V。通过引入高 K 介质, 如 HfO_2 或 $\text{Al}_2\text{O}_3/\text{HfO}_2$ 复合结构作栅下介质层来改善漏电特性能够进一步提升器件的击穿特性。

参考文献:

- [1] GREEN A J, CHABAK K D, HELLER E R, et al. 3.8-MV/cm breakdown strength of MOVPE-grown Sn-doped $\beta\text{-Ga}_2\text{O}_3$ MOSFETs. *IEEE Electron Device Lett.*, 2016, **37**(7): 902–905.
- [2] ZHOU H, ALGHAMADI S, SI M, et al. $\text{Al}_2\text{O}_3/\text{Ga}_2\text{O}_3$ (-201) interface improvement through piranha pretreatment and postdeposition annealing. *IEEE Electron Device Lett.*, 2016, **37**(11): 1411–1414.
- [3] AHN S, REN F, KIM J, et al. Effect of front and back gates on $\beta\text{-Ga}_2\text{O}_3$ nano-belt field-effect transistors. *Applied Physics Letters*, 2016, **109**(6): 062102–1–4.
- [4] HIGASHIWAKI M, SASAKI K, KURAMATA T, et al. Depletion-mode Ga_2O_3 metal-oxide-semiconductor field-effect transistors on $\beta\text{-Ga}_2\text{O}_3$ (010) substrates and temperature dependence of their device characteristics. *Applied Physics Letters*, 2013, **103**(12): 123511–1–4.
- [5] MOSER N, MCCANDLESS J, CRESPO A, et al. Ge-doped $\beta\text{-Ga}_2\text{O}_3$ MOSFETs. *IEEE Electron Device Lett.*, 2017, **38**(6): 775–778.
- [6] ZHOU H, SI M, ALGHAMADI S, et al. High-performance depletion/enhancement-mode $\beta\text{-Ga}_2\text{O}_3$ on insulator (GOOI) field-effect transistors with record drain currents of 600/450 mA/mm. *IEEE Electron Device Lett.*, 2017, **38**(1): 103–106.
- [7] HIGASHIWAKI M, SASAKI K, KURAMATA A, et al. Gallium oxide (Ga_2O_3) metal-semiconductor field-effect transistors on single-crystal $\beta\text{-Ga}_2\text{O}_3$ (010) substrates. *Appl. Phys. Lett.*, 2012, **100**(1): 013504–1–3.

- [8] SASAKI K, HIGASHIWAKI M, KURAMATA A, et al. Ga_2O_3 Schottky barrier diodes fabricated by using single-crystal β - Ga_2O_3 (010) substrates. *IEEE Electron Device Lett.*, 2013, **34(4)**: 493–495.
- [9] WONG M H, SASAKI K, KURAMATA A, et al. Field-plated Ga_2O_3 MOSFET with a breakdown voltage of over 750 V. *IEEE Electron Device Lett.*, 2016, **37(2)**: 212–215.
- [10] ZHOU H, MAIZE K, QIU G, et al. β - Ga_2O_3 on insulator field-effect transistors with drain currents exceeding 1.5 A/mm and their self-heating effect. *Appl. Phys. Lett.*, 2017, **111(9)**: 092102–1–4.
- [11] CHABAK K D, MOSER N, GREEN A J, et al. Enhanced-mode Ga_2O_3 wrap-gate fin field-effect transistors on native (010) β - Ga_2O_3 substrate with high breakdown voltage. *Appl. Phys. Lett.*, 2016, **109(21)**: 213501–1–5.
- [12] GUO JIN-JIN, LIU AI-HUA, MAN BAO-HUA, et al. Heteroepitaxy, ultraviolet and luminescence characterizations of β - Ga_2O_3 grown using LMBE. *Materials Review*, 2012, **26(6)**: 52–58.
- [13] HE BIN, XING JIE, DUAN YAN-TING, et al. Research progress of Ga_2O_3 UV photodetectors. *Materials Review*, 2013, **27(22)**: 157–163.
- [14] ZHANG HONG-ZHE, WANG LIN-JUN, XIA CHANG-TAI, et al. Research progress of wide-gap semiconductor β - Ga_2O_3 single crystal. *Journal of Synthetic Crystals*, 2015, **44(11)**: 2952–2973.
- [15] GREEN A J, CHABAK K D, BALDINI M, et al. β - Ga_2O_3 MOSFETs for radio frequency operation. *IEEE Electron Device Lett.*, 2017, **38(6)**: 790–793.
- [16] HUANG S, YANG S, ROBERTS J, et al. Threshold voltage instability in $\text{Al}_2\text{O}_3/\text{GaN}/\text{AlGaN}/\text{GaN}$ metal–insulator–semiconductor high-electron mobility transistors. *Jpn. J. Appl. Phys.*, 2011, **50(11)**: 110202–1–3.